

$$\tau = (Gy + \eta\dot{\gamma}) + \operatorname{tg}\varphi' \sigma, \quad (2'')$$

Согласно зависимости (2'') сопротивление почвы возрастает с увеличением скорости приложения нагрузки до бесконечности по прямой, описываемой уравнением:

$$y = a + bx. \quad (a)$$

Действительно, до определенного момента сопротивление почвы сжатию линейно возрастает до некоторого значения с увеличением скорости приложения нагрузки, затем интенсивность его роста снижается. Абсцисса точки перегиба затухающей кривой  $\tau = f(v)$  называется критической скоростью.

Стабилизация сопротивления почвы с увеличением скорости приложения нагрузки объясняется перераспределением доли вязкой деформации в сторону упругой, не зависящей от скорости, на первой стадии ползучести. С учетом этого уравнение (2'') записывается в виде:

$$\tau = GV_o^e + \left[ \eta\dot{\gamma} - \frac{V}{C}(\eta\dot{\gamma} - GV_I^e) \right] + \operatorname{tg}\varphi' \sigma, \quad (3)$$

где  $V/C$  — коэффициент пластиичности почвы, характеризующий изменение пластической деформации с увеличением скорости приложения нагрузки [4];  $C$  — скорость распространения упругих напряжений звука в почве;  $V_o^e$  — мгновенная упругая деформация;  $V_I^e$  — длительная упругая деформация, Н.

Вполне очевидно, что начало стабилизации сопротивления почвы, проявится при таком значении критической скорости  $V_{kp}$ , когда приращение упругого сопротивления будет равно или больше уменьшения вязкого сопротивления. На этом основании из (3) имеем:

$$\eta\dot{\gamma} - \frac{V_{kp}}{C}\eta\dot{\gamma} \leq \frac{V_{kp}}{C}Gy. \quad (4)$$

После преобразований относительно  $V_{kp}$  значение критической скорости деформации можно определить из выражения:

$$V_{kp} \geq C \frac{\eta\dot{\gamma}}{Gy + \eta\dot{\gamma}}. \quad (5)$$

Из (5) следует, что при постоянном значении скорости распространения упругих колебаний, критическая скорость деформации почвы тем выше, чем больше её вязкие свойства, то есть критическая скорость возрастает при увеличении влажности и содержания глины в почве [1].

Если допустить, что в (5)  $Gy = \eta\dot{\gamma}$ , то получим  $V_{kp} \geq 0,5C$  или значение критической скорости деформации почвы не меньше половины значения скорости распространения в ней звука.

#### Литература.

1. Кулен А., Кипперс Х. Современная земледельческая механика. Перевод с англ. А.Э. Габриэлена. Под ред. Ю.А. Смирнова. — М.: Агропромиздат, 1986.
2. Гольдштейн М.Н. Механические свойства грунтов. — М.: Госстройиздат, 1978.
3. Вялов С.С. Регологические основы механики грунтов. — М.: Высшая школа, 1978.
4. Горячкин В.П. Собрание сочинений в 3-х томах. — М.: Колос, 1968.

## СОВРЕМЕННЫЕ ПРОТИВОФИЛЬТРАЦИОННЫЕ КОНСТРУКЦИИ МЕЛИОРАТИВНЫХ КАНАЛОВ И МЕТОДЫ ИХ РАСЧЕТА

А.Г. АЛИМОВ, кандидат технических наук

Поволжский НИИ эколого-мелиоративных технологий

Экологомелиоративное состояние орошаемых земель в значительной степени зависит от фильтрационных потерь воды из каналов и водоемов. Это одна из главных причин локального или регионального подтопления земель.

Поэтому очень важно применять научно обоснованные водосберегающие конструкции противофильтрационных покрытий (бетонных, железобетонных и др.), которые исключают такие потери или хотя бы сводят их до допустимого минимума.

Слабое звено бетонных и железобетонных покрытий — деформационные швы истыки, так как даже при хорошей их герметизации образуются трещины в

результате температурно-усадочных и неравномерных деформаций основания, в частности от морозного пучения, набухания или просадки подстилающих грунтов, что вызывает значительные потери воды.

Создание эффективной противофильтрационной защиты на каналах и водоемах направлено на рациональное использование водных ресурсов и предотвращение подтопления, заболачивания и засоления окружающих земель, что служит одним из приоритетных направлений развития науки, технологий и техники в Российской Федерации, утвержденных Президентом РФ 21 мая 2006 г.

На основании теоретических, экспериментальных, натурных и патентно-информационных исследований автором разработаны современные водосберегающие конструкции противофильтрационных покрытий каналов и водоемов, технологии их устройства и методы расчетов [1, 2].

Противофильтрационное покрытие каналов и водоемов (рис. 1) [1] включает уложенную на грунт основания противопучинистую подготовку с расположенным на ее поверхности гидроизоляционным слоем, сверху которого предусмотрена облицовка из бетонных (железобетонных) плит или монолитный бетон (железобетон) с деформационными швами. Противопучинистая подготовка по периметру канала (водоема) выполняется разнотолщинной и многослойной. Менее теплопроводные слои укладываются в верхней ее части, а минимальная ( $t_{\mu}$ , см), ниже нижнего уреза воды, и максимальная ( $t'_{\mu}$ , см), выше вер-

где  $k_1$  — коэффициент пропорциональности,  $k_1 = 5 \cdot 10^{-5}$ , кПа·м<sup>3</sup>/(кг·см);  $\gamma_b$  — плотность бетона (железобетона), кг/м<sup>3</sup>;  $C_i$  — коэффициент, зависящий от типа облицовки (для монолитной бетонной облицовки  $C_i = 0,46 \cdot R_b \cdot t_b^2 / (m \cdot \Delta H + b_3)$ ; для монолитной железобетонной —  $C_i = 0,78 \cdot \mu \cdot R_s \cdot t_b^2 / (m \cdot \Delta H + b_3)$ ), кПа·см.

Для сборной облицовки из предварительно напряженных плит коэффициент  $C_i$  рассчитывается по формуле:

$$C_i = \frac{0,87 \cdot t_b^2}{m \cdot \Delta H + b_3} (\mu_n \cdot R'_s + \mu \cdot R_s) \cdot \left(1 - 0,65 \frac{\mu_n \cdot R'_s + \mu \cdot R_s}{R_b}\right),$$

где  $R_b$  и  $R_s$  — расчетное сопротивление бетона осевому соотвественно растяжению и сжатию для предельного состояния первой группы, кПа;  $\mu$  — коэффициент армирования железобетонной облицовки ненапрягаемой арматурой;  $R_s$  и  $R'_s$  — расчетное сопротивление соответственно ненапрягаемой и напрягаемой арматуры растяжению для предельного состояния первой группы, кПа;  $\mu_n$  — коэффициент армирования железобетонной облицовки напрягаемой арматурой;  $\lambda_{\mu}$  — коэффициент теплопроводности противопучинистой подготовки, Вт/(м·К);  $\gamma_{\mu}$  — плотность противопучинистой подготовки, кг/м<sup>3</sup>.

Расстояние между деформационными швами ( $l$ , м) в монолитном бетоне облицовки, воспринимающей критические усадочные напряжения в начальный период твердения бетона составляет:

$$l \leq 3,16 k_2 \sqrt{h \cdot arche \cdot E / (\varepsilon \cdot E - 1,75 R_b)}, \quad (3)$$

где  $k_2$  — коэффициент размерности, м<sup>1/2</sup>;  $arche \cdot E / (\varepsilon \cdot E - 1,75 R_b)$  — обратная гиперболическая функция — ареакосинус;  $\varepsilon$  — величина относительной усадочной деформации бетона;  $E$  — начальный модуль упругости бетона, МПа.

Расстояния между деформационными швами в монолитном бетоне ( $l_b$ , м) или железобетоне ( $l_{x,b}$ , см) облицовки при её смерзании с ложем канала можно определить по следующим зависимостям:

$$l_b \leq 0,6 h (R_b - 3,5 R_{b1}) / \sigma_c; \quad (4)$$

$$l_{x,b} \leq -p / 2 + \sqrt{(p / 2)^2 + q}, \quad (5)$$

где  $h$  — толщина облицовки, м;  $\sigma_c$  — напряжение смерзания облицовки с основанием, МПа;  $p = h \cdot (3,6 \mu \cdot R_s - 0,45 R_b) / \sigma_c$ , м;  $q = \mu \cdot h^2 (4,7 R_b \cdot R_s - 3,2 R_s^2 \cdot \mu) / \sigma_c^2$ , м<sup>2</sup>.

Допустимая глубина воды в канале (водоеме) над облицовкой рассчитывается по формулам:

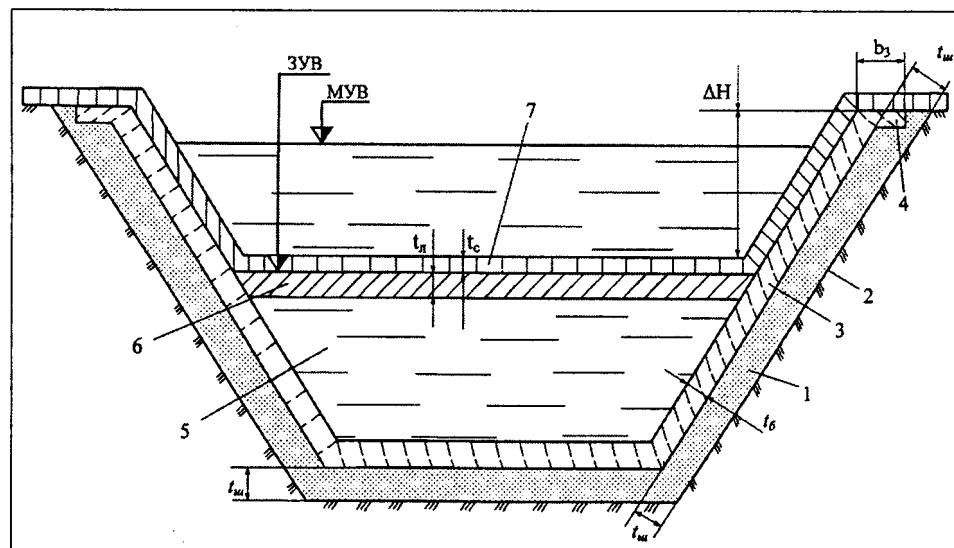


Рис. 1. Противофильтрационное покрытие каналов и водоемов: 1 — противопучинистая подготовка; 2 — подстилающий грунт основания; 3 — бетонная или железобетонная облицовка; 4 — заплечики облицовки; 5 — вода; 6 — ледяной покров; 7 — снег; ЗУВ — зимний уровень воды; МУВ — максимальный уровень воды.

хного уреза воды в канале (водоеме), толщины противопучинистой подготовки под облицовкой установлены из зависимостей:

$$t_w = A \left[ h_n - \left( \frac{t_c}{\lambda_c} + \frac{t_b}{\lambda_b} \right) \lambda_e \right] - B t_b \gamma_b - C_i \left/ \left( A \frac{\lambda_e}{\lambda_w} + B \gamma_w \right) \right. ; \quad (1)$$

$$t'_w = 1,3 t_w, \quad (2)$$

где  $A = \sigma_n [0,66 b_3 - 0,33 m(\Delta H + t_w)]$ , кПа;  $\sigma_n$  — нормативное значение давления, создаваемое в 1 см промерзшего грунта, кПа/см;  $b_3$  — ширина заплечика облицовки на дамбе канала (водоема), см;  $m$  — заложение откоса канала (водоема);  $\Delta H$  — превышение верхней границы облицовки над эксплуатационным горизонтом воды в канале (водоеме) в зимний период, см;  $t_w$  — толщина ледяного покрова в регионе строительства заданной обеспеченности, см;  $h_n$  — глубина промерзания грунтов заданной обеспеченности на откосе без покрытия, см;  $t_c$  — минимальная толщина сложившегося снежного покрова, см;  $\lambda_c, \lambda_b$  и  $\lambda_e$  — коэффициент теплопроводности соответственно снега, бетона и грунта Вт/(м·К);  $t_b$  — толщина бетона (железобетона) облицовки, см;

$$B = k_1 (\Delta H \sqrt{1 + m^2} + b_3), \text{ кПа} \cdot \text{м}^3 / \text{кг};$$

$$H_6 \leq k_3 \cdot R_b \left[ \frac{1907h^2}{L^2} + \frac{70L \cdot E_0}{(1-\mu_0^2)h \cdot E} \right] - 2,4h; \quad (6)$$

$$H_{ж.б.} \leq k_3 \cdot \mu \cdot R_s \left[ \frac{3254h^2}{L^2} + \frac{264L \cdot E_0}{(1-\mu_0^2)h \cdot E} \right] - 2,4h; \quad (7)$$

$$H_{н.ж.б.} \leq k_3 (\mu_u \cdot R'_s + \mu \cdot R_s) \left( 1 - 0,65 \frac{\mu_u \cdot R'_s + \mu \cdot R_s}{R_h} \right) \times \\ \times \left( \frac{3594h^2}{L^2} + \frac{292E_0}{(1-\mu_0^2)h \cdot E} \right) - 2,4h, \quad (8)$$

где  $H_6$ ,  $H_{ж.б.}$ ,  $H_{н.ж.б.}$  — допустимая глубина воды в канале (водоеме) соответственно над монолитным бетоном, железобетоном облицовки или над облицовкой из сборных предварительно напряженных железобетонных плит, м;  $k_3$  — коэффициент размерности, м/МПа;  $L$  — расстояние между швами облицовки, м;  $\mu_0$  — коэффициент Пуассона для грунтов основания;  $E_0$  — модуль деформации подстилающих грунтов, МПа (кг/см<sup>2</sup>);  $E$  — модуль упругости бетона, МПа (кг/см<sup>2</sup>).

Расчетные сопротивления бетона  $R_b$ ,  $R_{bu}$  и арматуры  $R_s$ ,  $R'_s$  в формулах (3)...(8) приведены в МПа.

Деформационный шов противофильтрационной облицовки каналов и водоемов (рис. 2) [2], выполненной из бетонных и железобетонных плит, включает по-роизоловую прокладку, полимерную герметизирующую мастику и противоадгезионный слой, при этом

к нижней поверхности стыкуемых плит (рис. 2, а) или к их торцевым граням (рис. 2, б) в конструкции шва герметично приклеена гидроизоляционная прокладка шириной 100...500 мм, выполненная с компенсатором в виде свободно деформируемой складки.

Предельные размеры деформационного шва можно рассчитать так:

$$B_w \geq \frac{100[\Delta h + \alpha \cdot L \cdot (t_{max} - t_{min})]}{\varepsilon \cdot k} \geq [\delta]; \quad (9)$$

$$\delta^* < \frac{\delta}{\sin \beta} \cdot \frac{\sigma_a}{\sigma_k}, \quad (10)$$

где  $B_w$  — ширина деформационного шва, мм;  $\Delta h$  — предельное высотное смещение одной плиты облицовки относительно другой, мм;  $\alpha$  — коэффициент линейного расширения бетона, град.<sup>-1</sup>;  $L$  — расстояние между деформационными швами, мм;  $t_{max}$  — максимальная температура воздуха при эксплуатации, °С;  $t_{min}$  — минимальная температура воздуха в зимнее время, °С;  $\varepsilon$  — относительное удлинение при разрыве образцов полимерной герметизирующей мастики, выдержанной на воздухе, %;  $k$  — коэффициент, учитывающий снижение деформативности мастики в результате внешних воздействий и длительного напряжения (для тиколовых мастик  $k=0,25$ );  $[\delta]$  — минимальная ширина шва, при которой полимерная мастика сохраняет упругие свойства, мм;  $\delta^*$  — минимальная толщина мастики в конструкции шва, мм;  $\delta$  — максимальная толщина полимерной герметизирующей мастики по контакту с торцевыми гранями стыкуемых плит в конструкции шва, мм;  $\beta$  — угол наклона торцевых граней плит к их лицевым поверхностям, град;  $\sigma_a$  — величина адгезионной прочности полимерной герметизирующей мастики к бетону, кг/см<sup>2</sup>;  $\sigma_k$  — величина когезионной прочности мастики, кг/см<sup>2</sup>.

Максимальная толщина полимерной герметизирующей мастики по контакту с торцевыми гранями стыкуемых плит в конструкции шва установлена из зависимости:

$$\delta \geq k^* \cdot \frac{m \cdot \gamma \cdot H \cdot B_w}{\sigma_a}, \quad (11)$$

где  $m$  — коэффициент, учитывающий условия работы шва,  $m = 1,3$ ;  $k^*$  — коэффициент размерности,  $k^* = 49$ ;  $\gamma$  — плотность воды, г/см<sup>3</sup>;  $H$  — наполнение канала, м;  $B_w$  — ширина шва, мм;  $\sigma_a$  — величина адгезионной прочности полимерной герметизирующей мастики к бетону, кПа.

Компенсатор в конструкции шва из полимерной мастики (рис. 2) заполнен пластичной, гидрофобной и морозостойкой смазкой.

Вместо полимерной мастики при формировании деформационного шва противофильтрационной облицовки каналов и водоемов можно использовать битумно-полимерную. Ее укладывают в полость шва с устройством заплечиков по верху стыкуемых плит. В остальном все компоненты остаются такими же как в ранее рассмотренном варианте. Предельные размеры шва установлены по формулам:

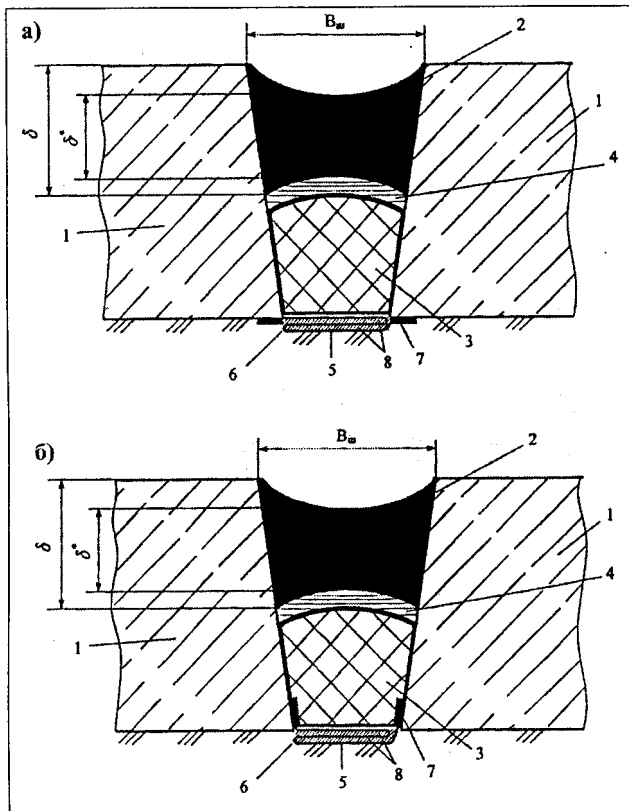


Рис. 2. Деформационный шов противофильтрационной облицовки каналов и водоемов из полимерной мастики: 1 — бетонные или железобетонные плиты; 2 — полимерная мастика; 3 — пороизоловая прокладка; 4 — противоадгезионный слой; 5 — гидроизоляционная прокладка; 6 — компенсатор; 7 — участки приклеенной гидроизоляционной прокладки к стыкуемым плитам облицовки; 8 — пластичная, гидрофобная и морозостойкая смазка.

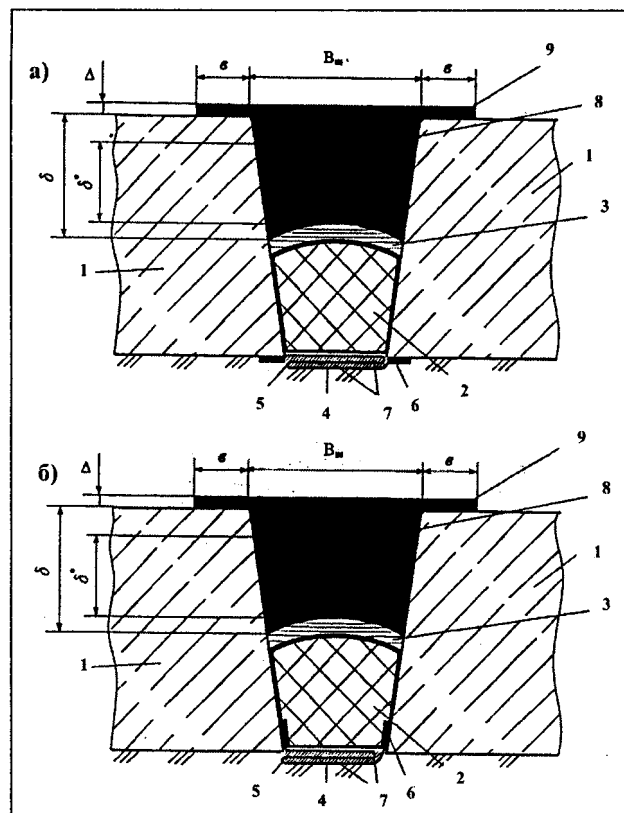


Рис. 3. Деформационный шов противофильтрационной облицовки каналов и водоемов из битумно-полимерной мастики: 1 — бетонные или железобетонные плиты; 2 — пороизоловая прокладка; 3 — противоадгезионный слой; 4 — гидроизоляционная прокладка; 5 — компенсатор; 6 — участки приклеенной гидроизоляционной прокладки к стыкуемым плитам облицовки; 7 — пластичная, гидрофобная и морозостойкая смазка; 8 — битумно-полимерная мастика; 9 — заплечики из битумно-полимерной мастики.

$$B_w \geq 100 \left[ \frac{\Delta h}{\varepsilon_2 \cdot k_2} + \frac{\alpha \cdot L \cdot (t_{max} - t_{min})}{\varepsilon_1 \cdot k_1} \right] \geq [\delta]; \quad (12)$$

$$\delta^* < \frac{\delta}{\sin \beta} \cdot \frac{\sigma_a}{\sigma_k} - \Delta, \quad (13)$$

где  $\varepsilon_1$  — среднее значение показателя относительного удлинения битумно-полимерной герметизирующей мастики при разрыве в диапазоне эксплуатационных температур от  $t_{max}$  до  $t_{min}$ , %;  $\varepsilon_2$  — среднее значение показателя относительного удлинения

битумно-полимерной мастики в диапазоне температур, при которых имеют место неравномерные деформации основания: морозное пучение от 0 до  $t_{min}$ , °С, просадка и набухание от 0 до  $t_{max}$ , °С, %;  $k_1$  и  $k_2$  — коэффициенты усталости материала заполнения шва, учитывающие снижение деформативности битумно-полимерной герметизирующей мастики при долговременной работе соответственно в диапазоне эксплуатационных температур от  $t_{max}$  до  $t_{min}$  ( $k_1 = 0,6$ ) и в области положительных или отрицательных температур ( $k_2 = 0,4...0,7$ );  $\Delta$  — толщина заплечиков на стыкуемых плитах, мм ( $\Delta = 30...50$  мм).

Остальные обозначения для расчета предельных размеров шва из битумно-полимерной мастики, входящие в формулы (12) и (13), те же, что и в зависимостях (9)...(11).

Максимальная толщина битумно-полимерной герметизирующей мастики в конструкции швов устанавливается из зависимости (11).

Возможная величина взаимных продольных или вертикальных перемещений плит 1 облицовки без нарушения герметичности шва при деформациях может достигать в случае использования полимерной мастики не менее 80 мм, а битумно-полимерной — не менее 40 мм.

Если в основании канала или водоема находится сильно деформируемый суглинистый грунт, водонепроницаемость швов достигается благодаря наличию в их нижней части герметично приклейенной гидроизоляционной прокладки с компенсатором.

Предложенные современные водосберегающие конструкции противофильтрационных покрытий водоемов и каналов, технологии их устройства и методы расчетов защищены патентами Российской Федерации на изобретения [1, 2]. Использование выполненных разработок обеспечивает надежную, долговременную противофильтрационную защиту мелиоративных каналов и водоемов, возводимых в сложных инженерно-геологических и гидрогеологических условиях, что позволит предотвратить заболачивание, засоление и подтопление ценных сельскохозяйственных угодий, то есть значительно улучшит мелиоративную и экологическую обстановку на орошаемых землях.

#### Литература.

- Патент № 2284390 (RU), С 1 МПК Е 02 В 3/16 (2006.01). Противофильтрационное покрытие каналов / Алимов А.Г. (RU); заявитель и патентообладатель гос. научн. учрежд. Поволж. научн. — исслед. ин-т эколого-мелиорат. технологий. — № 2005102269/03; заявл. 31.05.2005; опубл. 27.09.2006, Бюл. № 17.-23 с.: 1 ил.
- Патент № 2278202 (RU), С 1 МПК Е 02 В 3/16 (2006.01). Деформационный шов противофильтрационной облицовки каналов и водоемов (варианты) / Алимов А.Г. (RU); заявитель и патентообладатель гос. научн. учрежд. Поволж. научн. — исслед. ин-т эколого-мелиорат. технологий. — № 2004138978/03; заявл. 30.12.2004; опубл. 20.06.2006, Бюл. № 17.-15 с.: 4 ил.

#### ВНИМАНИЮ СОИСКАТЕЛЕЙ УЧЕНЫХ СТЕПЕНЕЙ И ДРУГИХ ЗАИНТЕРЕСОВАННЫХ ЛИЦ!

Редакция журнала «Достижения науки и техники АПК» издает монографии и другую книжную продукцию с редактированием и всеми выходными данными.

Цены договорные.

Заявки отправлять по адресу: 101000, г. Москва, Моспочтамт, а/я 166.

Тел.: (495) 557-13-01, (916) 241-63-43

E-mail: agroapk@mail.ru